## ВЛИЯНИЕ ПРИРОДНЫХ ПОЖАРОВ НА СОДЕРЖАНИЕ ПОЛИЦИКЛИЧЕСКИХ АРОМАТИЧЕСКИХ УГЛЕВОДОРОДОВ (ПАУ) В АТМОСФЕРНЫХ АЭРОЗОЛЯХ И МОРСКОЙ ВЗВЕСИ НА АКВАТОРИИ СЕВЕРО-ЗАПАДНОЙ ЧАСТИ ТИХОГО ОКЕАНА

## Нерода А.С., Мишуков В.Ф.

Тихоокеанский океанологический институт им. В.И. Ильичева, г. Владивосток vmishukov@poi.dvo.ru

Полициклические ароматические углеводороды (ПАУ) являются стойкими органическими соединениями различных структур, содержащими два или более ароматических колец. Значительная токсичность ПАУ делает их важным предметом экологических исследований. Они доказали мутагенное воздействие [1] и канцерогенное воздействие на живые организмы [2]. Фактический уровень токсичности ПАУ варьируется, и, по данным Агентства по регистрации токсичных веществ и болезней, 17 часто встречающихся ПАУ представляют наибольшую озабоченность.

Источники ПАУ могут быть как природными, так и антропогенными. Природные источники включают лесные пожары, сжигание травы, вулканическую активность и биологическую активность микроорганизмов [3]. Антропогенные источники, преобладающие в городских условиях, включают сжигание древесины, угля, бензина и дизельного топлива [4] и другие промышленные процессы [5]. ПАУ, как правило, нерастворимы в воде, и они обычно встречаются адсорбированных на частицах и постепенно оседают на дне водоемов, как глубоководные отложения [6], где они могут впоследствии нанести вред бентосным организмам [7]. ПАУ активно накапливаются в водных организмах, а затем передаются людям через пищевые цепи, создавая тем самым угрозу для здоровья человека [8]. Гонсалес-Гая сообщил, что диффузные ПАУ из атмосферы в океан представляют собой ключевое возмущение океанического углеродного цикла, а глобальное поступление атмосферных полициклических арома-

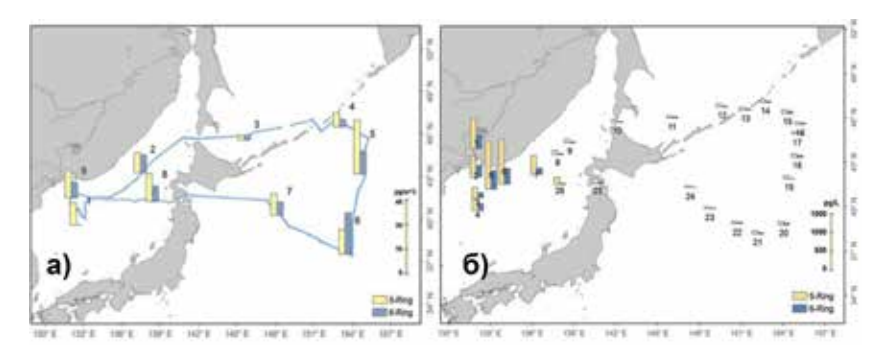
	1 7	7/	_	
Секция	1.	/ r	٦.	
Секция ——	 1 /	, ι	,	

тических углеводородов в глобальный океан оценивается в 90000 тонн в месяц [9].

Атмосферные аэрозоли и морская вода были отобраны в ходе 56 рейса НИС «Профессор Гагаринский», схема которого приведена на рисунке 1. Атмосферные аэрозоли были сконцентрированы на кремниевые мембранные фильтры Pallflex TISSUQUARTZ (8x10 inch) с помощью японской установки (Model 120SL, KIMOTO ELECTRIC, Japan) при прокачке от 1500 до 2500 м³ воздуха. Затем эти фильтры разрезались на мелкие кусочки, помещались в колбу, где проводили экстракцию ПАУ 40 мл смесью бензол-этанол (3:1) при ультразвуковой активации в течение 30 мин. В экстракт вводили внутренний стандарт (Nap-d8, Phe-d10, Ace-d10, Pyr-d10, and BaP-d12). Дальнейшее проведение анализа проводили по методике, описанной в работе [10]. Результаты анализа ПАУ в аэрозолях приведены на рисунке 1.

Впервые проведен синхронный отбор и анализ проб атмосферного аэрозоля и поверхностного слоя морских вод, в которых были определены концентрации 14 полициклических ароматических углеводородов (ПАУ) на акватории Японского и Охотского морей и северо-западной части Тихого океана (рис. 1). Взвешенное вещество морской воды концентрировали на фильтры Whatman GF/F (диаметр 55 мм, размер пор 0,7 µm) при фильтровании 18 л морской воды при вакууме <0,015 MPa. Экстракцию и анализ ПАУ выполняли по методике, приведенной в работе [3, 4]. Результаты анализа ПАУ во взвешенном веществе морской воды приведены на рисунке 1.2.

Статистический анализ. Расчет обратных траекторий движения воздушных масс от района отбора проб воды и атмосферного аэрозоля был выполнен на основе The Hybrid Single Particle Lagrangian Integrated Trajectory (HYSPLIT, version 4,9) model. Для этого использовали метеорологические данные на сетке 0.5°, представленные Global Data Assimilation System (GDAS) model, которые были рассчитаны National Weather Service's National Center for Environmental Prediction (NCEP). Для образцов атмосферного аэрозоля было получено 625 траекторий с часовым интервалом. Для образцов взвешенного вещества обратные траектории строились на 5 суток до момента отбора проб воды и было получено 3120 траекторий.



*Рис. 1.* Схема маршрута рейса 56 НИС «Профессор Гагаринский» (13.06-09.07.2012), точек отбора проб морской воды Изменение концентрации суммы пятиколечных и суммы шестиколечных ПАУ в: а) атмосферных аэрозолях ( $\Pi \Gamma M^3$ ) и б) поверхностной морской воде ( $\Pi \Gamma M$ )

Алгоритм расчета числа активных пожаров рассчитывал число пожаров на сетке  $0.5^{\circ}$  на каждой линии обратной траектории движения воздушной массы. Для антропогенных источников таким же образом рассчитывалось число тепловых стаций и количество населения на сетке  $0.5^{\circ}$  на каждой линии обратной траектории движения воздушной массы.

Данные о количестве пожаров получены по данным Visible Infrared Imaging Radiometer Suite (VIIRS) (разрешение 375 м) и Moderate Resolution Imaging Spectroradiometer (MODIS) (разрешение 1 км).

Данные о плотности населения представлены (число людей на 1 км²) в the Gridded Population of the World, Version 4 (CIESIN 2018).

Данные о расположении угольных и газовых электростанций указаны в The Global Power Plant Database. Согласно U.S. Energy Information Administration data в Китае основным топливом являлись битуминизированные угли в 2012 (https://www.eia.gov/ beta/international/).

Анализ обратных траекторий и спутниковых данных об активных лесных пожарах показал, что важнейшим источником ПАУ в морской воде являлось поступление от выбросов лесных пожаров (рис. 2). Так коэффициент корреляции между числом пожаров и суммой ПАУ и составлял 0.62 (p=0.001), суммой 5-колечных ПАУ -0.77 (p=0.0001), суммой 6-колечных -0.71 (p=0.0001), концентрацией бенз(а)пирена -(0.87, p=0.001). Параметр плотности населе-

1 Секция \_\_\_\_\_\_ 178

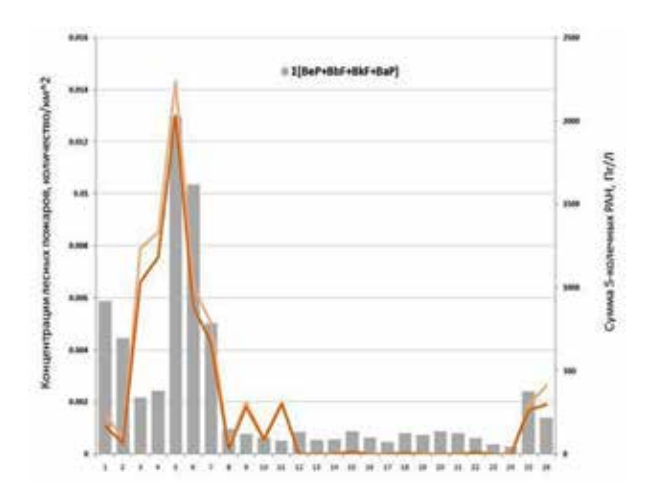


Рис. 2. Взаимосвязь между содержанием суммы пятиколечных ароматических углеводородов во взвешенном веществе морских вод и числом активных лесных пожаров на территории Китая и Восточной Сибири (число пожаров на 1000 км²), расположенных вдоль обратной траектории движения воздушных масс по данным MODIS Active Fires product (зеленая линия − достоверность 45−100%, красная линия − достоверность 55-100%). Пробы 1−9 − Японское море, 10 − пролив Лаперуза, 11−13 − Охотское море, 14 − пролив Буссоль, 15−24 − северо-западная часть Тихого океана, 15 − Сангарский пролив

ния связан только с концентрацией бенз(а) пирена - 0,61 (p=0,001). Плотность тепловых электростанций не связана с концентрацией индивидуальных ПАУ, так и с суммой ПАУ.

Результаты расчетов показали, что сжигание угля, травы и природные пожары являются основными источниками ПАУ в поверхностных водах и аэрозолях. Лесные пожары объяснили более 75% вариаций бенз(а)пирена (ВаР) в морской воде в июне-июле 2012 года. Сильная корреляция между активными пожарами и концентрациями ПАУ во взвешенном веществе морских вод может быть объяснена тем, что на поверхности морской воды накапливаются выпадающие из атмосферы твердые частицы.

Данная работа выполнена по теме 124022100077-0 и в рамках проекта «Расчет полей течений, переноса и трансформации загрязняющих веществ и экологических угроз в Дальневосточном реги-

оне России» по программе Президиума РАН «Фундаментальные проблемы математического моделирования».

## Литература

- Kawanaka Y., Matsumoto E., Sakamoto K., Wang N., Yun S.J. Size distributions
  of mutagenic compounds and mutagenicity in atmospheric particulate matter collected with a low-pressure cascade impactor // Atmos. Environ. 2004. V. 38(14).
  P. 2125-2132. https://doi.org/10.1016/j.atmosenv.2004.01.021.
- Pashin Yu.V., Bakhitova L.M. Mutagenic and carcinogenic properties of polycyclic aromatic hydrocarbons // Environ. Health Perspect. 1979. V. 30. P. 185-189.
- Hayakawa K., Tang N., Nagato E. G., Toriba A., & Aoki K. Identification of Long-Range Transported Polycyclic Aromatic Hydrocarbons in Snow at Mt. Tateyama, Japan // Aerosol and Air Quality Research. 2019. V. 19(6). P. 1252-1258. https:// doi.org/10.4209/aaqr.2018.05.0153.
- 4. Hayakawa K., Tang N., Nagato E., Toriba A., Lin J-M., Zhao L., Zhou Z., Qing W., Yang X., Mishukov V., Neroda, A., Chung, H.Y. Long-term trends in urban atmospheric polycyclic aromatic hydrocarbons and nitropolycyclic aromatic hydrocarbons: China, Russia, and Korea from 1999 to 2014 // International Journal of Environmental Research and Public Health. 2020. V. 17 (2). P. 431. DOI: 10.3390/ijerph17020431.

	100	
Секция	1 X ( )	
ССКЦИЯ	100	